

鹿児島大学工学部 正員 春山元寿  
児玉利貞  
米元敏博

はじめに 地震時の地盤や波浪を受ける海中構造物の基礎地盤は繰返し荷重のもとにある。この荷重条件下では、主応力軸方向が連続的に回転し、せん断方向が変化している。せん断方向の変化を受ける粒状体の挙動は、粒状体の応力・変形特性の応力経路依存性及び降伏条件の問題に分けられるであろう。前報<sup>1)</sup>でせん断方向をπ面上で180°及び120°変化させたとき、直ちに塑性的変化が発生することを示した。この塑性的変化が応力経路の影響なのか、降伏条件によるものかの検討が必要である。本報では、比較的大きなひずみを発生させた供試体にせん断方向の変化を与えたときの変形角と変形の関係について述べる。

試料及び試験方法 試験装置及び試料は前報<sup>1)</sup>通りである。主応力はθを鉛直方向、 $\sigma_2$ と $\sigma_3$ を水平方向にとる。供試体は、1Kgf/cm<sup>2</sup>のもとで等方圧密の後、平均主応力を1Kgf/cm<sup>2</sup>の一定として応力制御法でせん断した。せん断の方向は、π面において $\sigma_1$ 軸から $\sigma_2$ 軸の方向へθをとり、θ=0°～180°の間で15°おきに負荷したもの。θ=0°で負荷したものと除荷し、再負荷時にθ=0°～180°の間で、30n(n=0～6)°のせん断方向の変化を与えたもの、θ=120°で負荷したものと除荷し、再負荷時にθ=120°～360°の間で、30n(n=0～8)°のせん断方向の変化を与えたものである。応力及び変形のパラメータは前報<sup>1)</sup>と同じである。

試験結果 繰返し荷重下におけるせん断方向θの変化が変形に及ぼす影響を応力比S/N・せん断ひずみγ曲線によって検討する。図-1及び2は、それぞれθ=0°( $\sigma_1 > \sigma_2 = \sigma_3$ )及び120°( $\sigma_2 > \sigma_1 = \sigma_3$ )のもとでθからπまで載荷し、その後πまで除荷し、再載荷曲線a-Cの部分でθに30n°の変化を与えたものである。再載荷過程のS/N・γ関係は、各点からの主ひずみ増分dE<sub>1</sub>、dE<sub>2</sub>、dE<sub>3</sub>をもとにして示してある。まず、図-2の曲線D-A-Cについて、θ=0°と120°における同一応力水準での変形量γを比較すると、θ=120°のもとにおける方が大きい。この定性的傾向は、θ=0°～180°の間で認められる<sup>1)</sup>。また、図-1と2からわかるように同じ圧縮応力状態から出発しても、処女圧縮が作用する方向によって、せん断方向角の変化が変形特性に及ぼす影響は異なる。これは鉛直方向と水平方向における供試体の異方性によるものであろう。図-1においてθ=0°と120°は圧縮、θ=30°、90°、150°は中间主応力一定、θ=60°と180°は伸張状態である。0°～90°、120°～180°の再載荷過程における変形量の増加は非常に大きい。図-2において、θ=120°、240°、360°は圧縮、150°、210°、270°は中间主応力一定、θ=180°、300°は伸張状態である。再載荷時の変形量は、120°～180°の間で漸次増加、180°～240°の間で減少、240°～300°の間で増加、300°～360°で減少となっている。降伏条件<sup>1)</sup>との関係を考

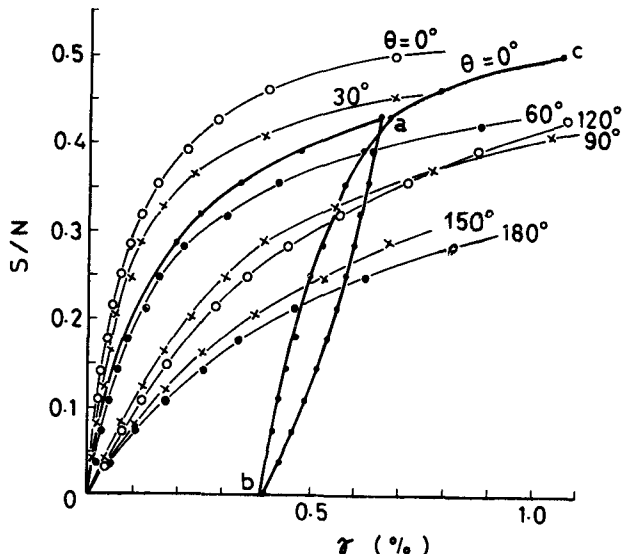


図-1

ると、 $180^\circ \sim 360^\circ$  の間では変形量の連続的減少が考えられるが、 $240^\circ$  と  $300^\circ$  によって傾向をかえている。また、図-1、2ともにせん断方向の差が  $30^\circ$  のものは  $\theta = 0^\circ$  より強度が増加し、弾性的になつておる、それが  $60^\circ$  以上もののは  $\theta = 0^\circ$  より強度が低下し、塑性的となつておる。ここで図-1における  $0 \sim 180^\circ$  間の強度低下は、降伏条件の影響、図-2における強度増減は異方性の影響と考えておくことにする。いま、もし再載荷曲線が応力経路に独立に決まるとすれば、各θにおける再載荷曲線は、そのθのもとの処女載荷曲線に一致するはずである。 $\theta = 0^\circ$  及び  $120^\circ$  についてそれをみると、それぞれ図-1及び2からわかるように、再載荷過程でいずみ硬化による強度増加を示していることがわかる。いま、 $\theta = 30^\circ$  と  $120^\circ$ 、及び  $150^\circ$  と  $240^\circ$  における処女曲線(V)と再載荷曲線(R)をそれぞれ図-3及び4に示す。図-3、4ともにRとVは一致していず、せん断方向の差  $30^\circ$  のものは強度増加、 $120^\circ$  のものは強度低下を示している。他のせん断方向の変化角についても同様な検討を行ったところ、 $\theta = 0^\circ$  及び  $120^\circ$  からの変化角が  $60^\circ$  以下では、 $R > V$ 、 $60^\circ$  で  $R \approx V$ 、 $60^\circ$  以上で  $R < V$  であった。すなわち強度増減の境界が  $60^\circ$  である。 $0^\circ$  と  $120^\circ$  を最初の載荷にとつたときのせん断方向の  $60^\circ$  の差は供試体垂直に対する鉛直方向と水平方向の関係である。同じ  $10^\circ$  の差であっても  $15^\circ$  と  $75^\circ$  の組合せでは上記のようにならない。RとVの相違は応力経路の影響を意味する。従来応力・変形関係には、この応力経路の影響が謹観されていたが、ここでは、降伏条件の乘換の影響を提示した。

文献1) 春山元寿: 三主応力下における球粒子集合体の変形強度特性、土木学会第34回学術講演会、昭. 54. 10.

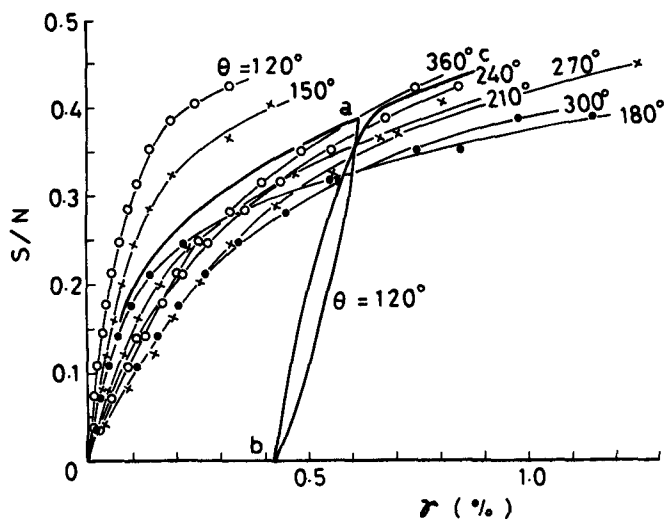


図-2

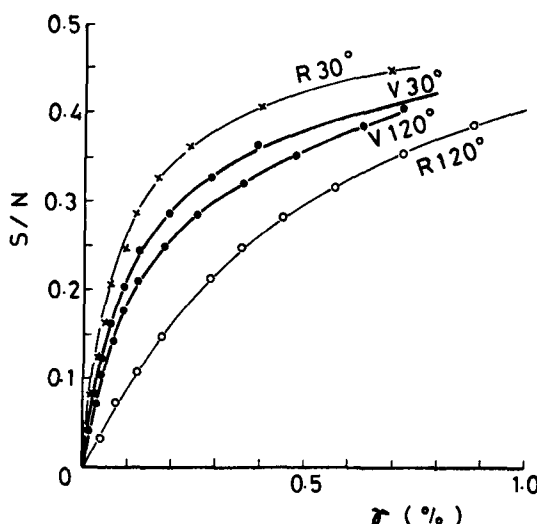


図-3

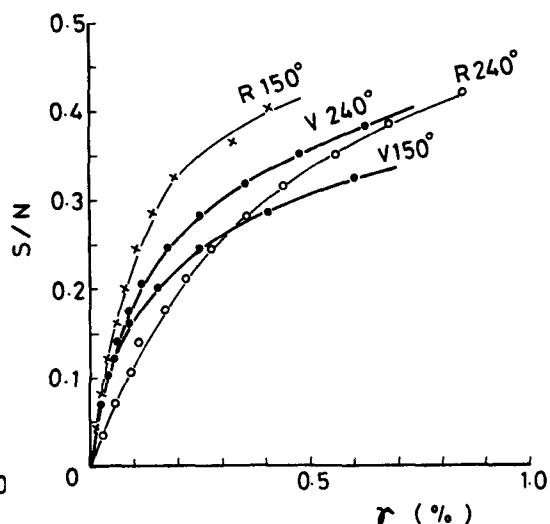


図-4